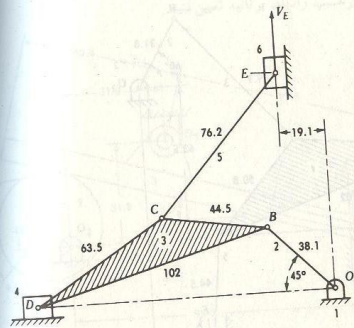


۱۲.۶ (الف) در شکل م ۱۲.۶، سرعت نقطه E برابر 45 m/s است. با استفاده از روش سعی و خطا چندضلعی سرعت را رسم کنید. سرعت نقطه D را برحسب متر در ثانیه به دست آورید.
 (ب) ω_1 و ω_2 را برحسب رادیان در ثانیه به دست آورید.



شکل م ۱۲.۶

تعیین شتاب در مکانیسمها

۱.۷ مقدمه

در دو فصل قبل دیدیم که چگونه سرعت لحظه‌ای خطی هر نقطه از یک مکانیسم و به دنبال آن سرعت زاویه‌ای لحظه‌ای هر میله را می‌توان تعیین کرد. در این فصل چگونگی تعیین شتابهای خطی لحظه‌ای توضیح داده خواهد شد. تعیین شتاب، به‌خاطر اثر آن روی نیروهای مانده، از اهمیت خاصی برخوردار است. این نیروها نیز به نوبه خود بر تنشهای موجود در اجزای ماشین و بار اعمال شده بر یاتاقانها و ایجاد ارتعاشات و سروصدای ماشین تأثیر می‌گذارند.

تعلیل شتاب در یک مکانیسم با جمع کردن شتابهای نسبی صورت می‌گیرد. بنابراین روش کار درست مشابه روش دنبال‌شده در سرعتها نسبی است. در آنجا هنگام رسم چندضلعی سرعت، قطب با علامت O_p نمایش داده می‌شد. قطب چندضلعی شتاب با علامت O_s نمایش داده می‌شود و تمام نقاط روی چندضلعی دارای علامت (s) خواهند بود. خطوطی که از قطب به نقاط روی چندضلعی شتاب وصل شوند، بیانگر شتابهای مطلق نقاط فوق روی مکانیسم‌اند و خطی که هر دو نقطه از چندضلعی را بهم وصل کند، مبین شتاب نسبی نقاط فوق روی مکانیسم است.

معادله‌های زیر که در فصل ۲ برای شتاب یک نقطه به دست آمده‌اند، در حل مسائل این فصل نیز به‌کار گرفته می‌شوند:

$$A^s = \frac{V^2}{R} = R\omega^2 = V\omega \quad (1.7)$$

$$A' = R\alpha \quad (2.7)$$

$$A = \sqrt{(A')^2 + (A'')^2} \quad (3.7)$$

علاوه بر مؤلفه‌های مماسی و عمودی شتاب که در بالا آمده است، مؤلفه شتاب کربولیس نیز در نظر گرفته خواهد شد. این مؤلفه به صورت زیر تعریف می‌شود:

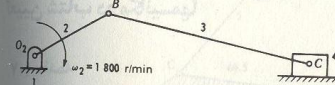
$$\text{شتاب کربولیس} = 2V\omega \quad (4.7)$$

۲.۷ شتاب خطی

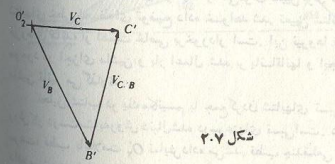
در مکانیسم لغزنده - لنگ شکل ۱.۷، روش یافتن شتابهای یک مکانیسم به نمایش گذاشته شده است. لنگ دارای سرعت زاویه‌ای ثابت 1800 r/min است. شتاب نقطه C را باید به دست آورد.

$$O_2B = 2.50''$$

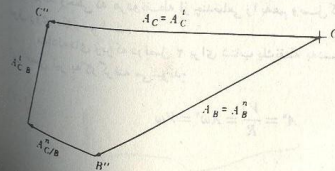
$$BC = 6''$$



شکل ۱.۷



شکل ۲.۷



شکل ۳.۷

ابتدا باید سرشتها را تعیین کرد؛ پس

$$V_B = (O_2B)\omega_2 = \frac{2.5}{12} \times \frac{1800 \times 2\pi}{60} = 39.3 \text{ ft/s}$$

$$\vec{V}_C = \vec{V}_B \rightarrow \vec{V}_{C/B}$$

چندضلعی سرعت در شکل ۲.۷ رسم شده است. مقیاس $1 \text{ in} = 20 \text{ ft/s}$ برای شکل اصلی به کار رفته است. $V_{C/B}$ با در نظر گرفتن مقیاس فوق برابر 34.4 ft/s می‌شود. شتاب C را می‌توان از معادله زیر به دست آورد:

$$A_C = A_B \rightarrow A_{C/B}$$

این معادله را می‌توان به صورت زیر نوشت

$$A_C'' \rightarrow A_C' = A_B'' \rightarrow A_B' \rightarrow A_{C/B}' \rightarrow A_{C/B}'' \quad (5.7)$$

معادله بالا، با رسم چندضلعی شتاب که در شکل ۳.۷ آمده است، به صورت تریگونی قابل حل است. نقطه O_2' قطب شتاب، را در هر نقطه مناسب کاغذ می‌توان در نظر گرفت. مقیاس $1 \text{ in} = 2000 \text{ ft/s}^2$ برای شکل اصلی در نظر گرفته شده است. چون مسیر حرکت برای نقطه C خط راست است، بنابراین

$$A_C'' = \frac{V_C^2}{R} = \frac{V_C^2}{\infty} = 0$$

A_C' از نقطه O_2' در امتداد مسیر حرکت C رسم شده و اندازه آن مجهول است. خطفاصله بالای A_C' در معادله (۵.۷)، مجهول بودن اندازه آن را نشان می‌دهد. A_C' در جهت مماس بر مسیر حرکت نقطه C بوده و علامت تیک نیز مبین معلوم بودن راستای آن است. جمع بردارهایی که در طرف راست معادله فوق قرار دارند بنا رسم آنها و شروع از نقطه قطب O_2' انجام می‌پذیرد. نقطه B روی مسیر دایره‌ای حرکت می‌کند، بنابراین شتاب عمودی آن موازی O_2B رسم می‌شود.

$$A_B'' = \frac{V_B^2}{O_2B} = \frac{(39.3)^2}{2.5/12} = 7400 \text{ ft/s}^2$$

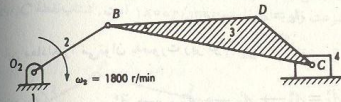
چون $\alpha_2 = 0$ پس $\alpha_2 = 0$ است و

$$A_B' = (O_2B)\alpha_2 = (O_2B)0 = 0$$

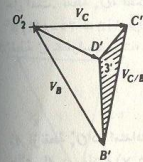
$A_{C/B}^n$ و $A_{C/B}^t$ شتابهای نسبی اند و برای تعیین راستای آنها باید مسیر حرکت C نسبت به B را در نظر بگیریم. نقطه C روی مسیر دایره‌ای به شعاع BC حول نقطه B می‌چرخد، و $A_{C/B}^n$ و $A_{C/B}^t$ به ترتیب در جهت عمود و مماس بر این مسیرند.

$$A_{C/B}^t = \frac{V_{C/B}^t}{BC} = \frac{(34.4)^2}{6/12} = 236 \text{ of/s}^2$$

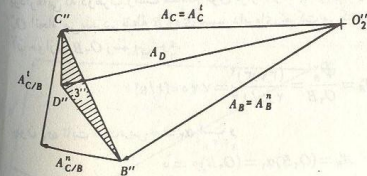
$A_{C/B}^n$ به موازات BC رسم می‌شود. از نوبت $A_{C/B}^n$ نیز خطی عمود بر BC رسم شده است. محل تلاقی این خط با خط افقی رسم شده از O_p ، اندازه $A_{C/B}^n$ و $A_{C/B}^t$ را مشخص می‌کند.



شکل ۴.۷



شکل ۵.۷



شکل ۶.۷

۳.۷ تصویر شتاب

برای هر میله در هر مکانیسم، تصویری در چندضلعی شتاب وجود دارد، همان گونه که برای هر میله در چندضلعی سرعت تصویری وجود دارد. فرض کنید B و C دو نقطه از یک میله باشند. بنابراین

$$A_{B/C} = A_{B/C}^n \rightarrow A_{B/C}^t$$

اندازه شتاب نسبی برابر است با

$$A_{B/C} = \sqrt{(A_{B/C}^n)^2 + (A_{B/C}^t)^2} \\ = \sqrt{[(BC)\omega^2]^2 + [(BC)\alpha]^2} \\ = BC\sqrt{\omega^4 + \alpha^2}$$

که ω و α از خصوصیات کلی میله‌اند و به نقطه خاصی مربوط نمی‌شوند. بنابراین معادله اخیر نشان می‌دهد که شتاب نسبی متناسب با فاصله بین دو نقطه است. این مطلب کار را برای رسم چندضلعی شتاب ساده می‌کند زیرا اندازه بردارهای شتاب نسبی برای تمام نقاط روی یک میله متناسب با فواصل بین آن نقاط است. یعنی نقاط روی چندضلعی شتاب تصویری مطابق نقاط روی مکانیسم به وجود می‌آورند. مثلاً در شکل ۴.۷، مکانیسم شکل ۱.۷ دوباره رسم شده است با این تفاوت که میله ۳ شامل نقطه D نیز هست. چندضلعی سرعت در شکل ۵.۷، و چندضلعی شتاب در شکل ۶.۷ نشان داده شده است، و نقطه D'' با تصویر کردن از شکل ۴.۷ به صورت $B''C''D''$ به دست می‌آید. داریم:

$$\frac{B''C''}{BC} = \frac{B''D''}{BD} = \frac{C''D''}{CD}$$

که بردار B'' به C'' معرف شتاب نقطه C نسبت به نقطه B و بردار C'' به B'' بیانگر شتاب نقطه B نسبت به C است. هنگام رسم تصویر شتاب، باید دقت کرد که اگر B و C و D به ترتیب در جهت گردش عقربه‌های ساعت روی میله قرار گرفته‌اند. B'' ، C'' و D'' نیز به همان ترتیب قرار گرفته باشند چون در شکل ۴.۷ نقاط C و B و D روی میله ۳ در خلاف جهت گردش عقربه‌های ساعت قرار دارند، پس B'' ، C'' و D'' نیز در همان جهت واقع خواهند شد.

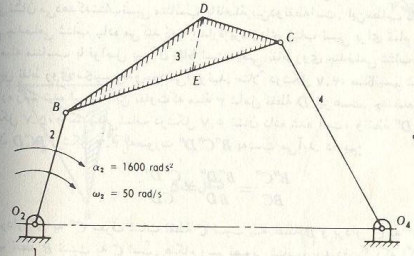
۴.۷ شتاب زاویه‌ای

شتاب زاویه‌ای میله صاب در یک مکانیسم برابر است با شتاب مماسی هر نقطه آن میله نسبت به نقطه دیگری از میله بخش بر فاصله بین آن نقاط از یکدیگر. از آنجا که حرکت نسبی برای

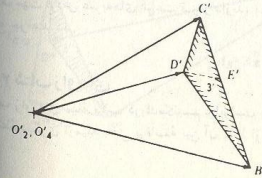
هر دو نقطه از یک میله فقط از نوع دوران است، بنابراین معادله (۲.۷) را می توان برای محاسبه شتاب زاویه ای به کار گرفت. مثلاً، در شکل ۱.۷، شتاب زاویه ای میله ۳ برابر است با

$$\alpha_3 = \frac{A_{C/B}^n}{BC}$$

جهت شتاب زاویه ای با بررسی چندضلعی شتاب تعیین می شود. در شکل ۱.۷، نقطه C حول نقطه B می چرخد. بنابراین مسیر حرکت نسبی دایره ای به شعاع BC است. در شکل ۳.۷، چون جهت $A_{C/B}^n$ به طرف بالاست، بنابراین نقطه C به طرف بالا، در جهت مماس بر مسیر حرکت نسبت به B، شتاب می گیرد. در نتیجه α_3 در خلاف جهت گردش عقربه های ساعت خواهد بود. از شکل ۲.۷ ملاحظه می شود که سرعت زاویه ای میله ۳ در خلاف جهت گردش عقربه های ساعت است. بنابراین سرعت زاویه ای میله ۳ افزایش می یابد.



شکل ۷.۷



شکل ۸.۷

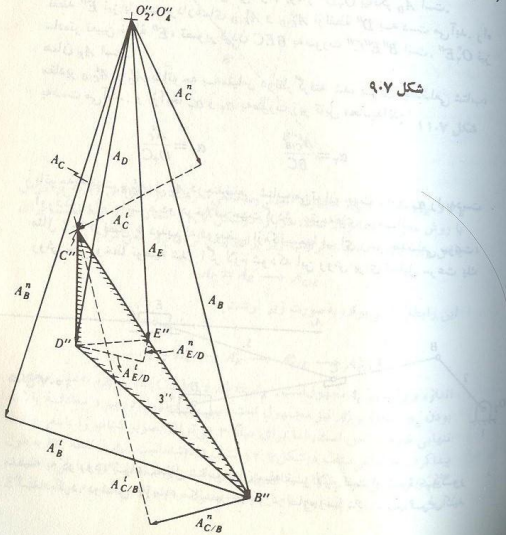
مثال ۱.۷ چهار میله ای شکل ۷.۷ را در نظر بگیرید. سرعت و شتاب زاویه ای میله ۲ داده شده و شتاب نقاط C، D و E و شتاب زاویه ای میله های ۳ و ۴ مطلوب است. حل چندضلعی های سرعت و شتاب در شکل ۸.۷ و ۹.۷ رسم شده اند. شتاب C از معادله زیر به دست می آید:

$$A_C = A_B \rightarrow A_{C/B}$$

که آن را به صورت زیر می نویسیم:

$$A_C^n \rightarrow A_C^t = A_B^n \rightarrow A_B^t \rightarrow A_{C/B}^n \rightarrow A_{C/B}^t \quad (8.7)$$

شکل ۹.۷

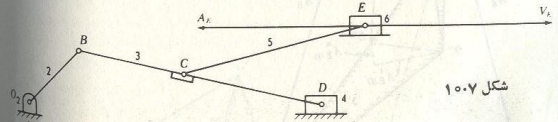


مقدار A_B^0 از مقدار V_C به دست آمده از چندضلعی سرعت، قابل محاسبه است و مطابق شکل ۹.۷ مقدار آن از قطب O_p^0 رسم می شود. به علت مجهول بودن α_p ، اندازه $\alpha_p(O_p^0C) = A_C^0$ نیز مجهول است، اما امتداد A_C^0 به صورت خط چین از نونک A_C^0 و عمود بر آن رسم می شود. اکنون بردارهای طرف راست معادله (۶.۷) از قطب O_p^0 رسم می شوند. اندازه A_B^0 و A_C^0 از اطلاعات داده شده برای حرکت میله ۷ قابل محاسبه است. جمع برداری آنها A_B است که به وسیله O_p^0B'' ارائه شده است. $A_{C/B}^0$ از B'' رسم می شود و اندازه آن مساوی $V_{C/B}^0/BC$ است. مقدار $V_{C/B}^0$ نیز از چندضلعی سرعت به دست آمده است. عمودی که از نونک $A_{C/B}^0$ رسم شده باشد مبین امتداد $A_{C/B}^0$ است. محل تلاقی این خط با امتداد خط A_C^0 ، نقطه C'' رامشخص می کند. سپس O_p^0C'' که همان A_C است به دست می آید. نقطه D'' با تصویر کردن BCD به صورت $B''C''D''$ تعیین می شود. بردار O_p^0D'' بیانگر A_D است. نقطه E'' نیز با رسم بردارهای $A_{E/D}^0$ و $A_{E/B}^0$ از نقطه D'' به دست می آید. راه ساده تر تعیین نقطه E'' ، تصویر کردن BEC به صورت $B''E''C''$ است. O_p^0E'' نیز همان A_E است.

مقادیر $A_{C/B}^0$ و A_C^0 با توجه به مقیاس در نظر گرفته شده برای چندضلعی شتاب، به دست می آیند. و از آنجا α_p و α_C به صورت زیر قابل محاسبه اند:

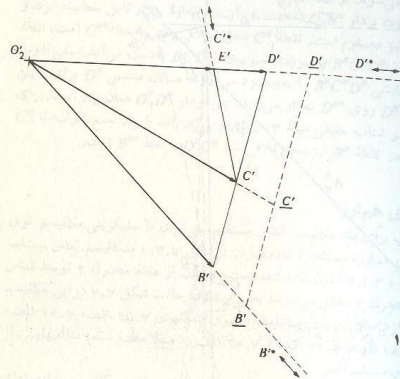
$$\alpha_p = \frac{A_{C/B}^0}{BC} \quad \alpha_C = \frac{A_C^0}{O_p^0C}$$

با توجه به جهت $A_{C/B}^0$ و A_C^0 در چندضلعی شتاب می توان جهت α_p و α_C را به دست آورد که در این حالت هر دو در خلاف جهت گردش عقربه های ساعت اند. مثال ۳.۰۷ در فصل ۶ دیدیم که در بعضی از مکانیسمها برای رسم چندضلعی سرعت، روش سعی و خطا توصیه شد. اگر لازم شود که این روش برای تحلیل سرعت یک



شکل ۱۰.۷

میله به کار رود، برای تحلیل شتاب همان میله نیز لازم است از شیوه مذکور استفاده کرد. در شکل ۱۰.۷، مکانیسم ۱۷.۶ دوباره رسم شده است. فرض کنید



شکل ۱۱.۷

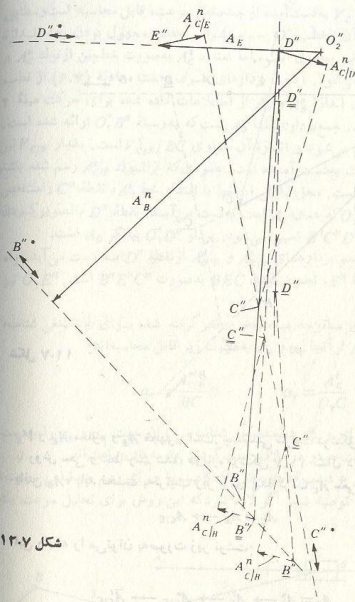
V_E و A_E معلوم A_B مجهول است. چندضلعی سرعت در شکل ۱۱.۶ که برای حل با روش سعی و خطا رسم شده، دوباره در شکل ۱۱.۷ نشان داده شده است. برای یافتن A_B ، باید نخست به ترتیب زیر برای پیدا کردن A_C سعی کرد:

$$A_C = A_E \rightarrow A_{C/E}$$

این رابطه را می توان به صورت زیر نوشت:

$$A_C = A_E^0 \rightarrow A_E^0 \rightarrow A_{C/E}^0 \rightarrow A_{C/E}$$

اندازه و راستای A_C مجهول است. $A_E^0 = A_E$ و $A_{C/E}^0 = (CE)\alpha_C$ ، به علت مجهول بودن α_C اندازه $A_{C/E}^0$ نیز مجهول است. پس سه مجهول داریم و معادله بالا به تنهایی غیر قابل حل است. اما برای میله ۳ می توان تصویر شتاب را با سعی و خطا پیدا کرد. چندضلعی شتاب در شکل ۱۲.۷ نشان داده شده است. A_E از نقطه O_p^0 به طول O_p^0E'' رسم می شود. تنها راستای A_D معلوم است که با خط $D''E''$ نمایش داده شده است. اندازه $A_{C/E}^0$ از نتایج حاصل از چندضلعی سرعت قابل محاسبه بوده و از E''



شکل ۱۲.۷

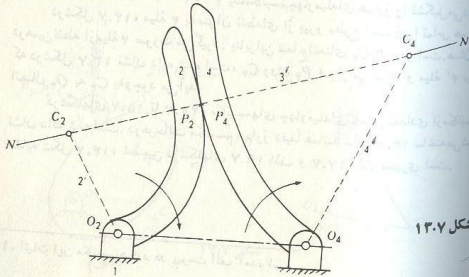
به موازات CE رسم شده است. از تونک $A_{C/E}^n$ خط $C^{n,c}$ عمود بر CE رسم می شود و نمایانگر جهت $A_{C/E}^n$ است. بنابراین C^n روی خط فوق قرار دارد. اندازه $A_{C/E}^n$ نیز از نتایج حاصل از چندضامی سرعت قابل محاسبه است. A_B^n از قطب O_4 به موازات O_4B رسم می شود. از تونک A_B^n خط $B^{n,c}$ عمود بر A_B^n رسم شده و بیانگر راستای A_B^n است. بنابراین نقطه B^n نیز روی خط $B^{n,c}$ قرار دارد.
همان گونه که از شکل ۱۲.۷ مشخص است، نقطه آزمایشی به عنوان B^n در امتداد

B^n انتخاب می شود. برای یافتن نقطه C^n ، باید $A_{C/B}^n$ و $A_{C/E}^n$ را با A_B^n جمع کرد که در این صورت بردار O_4B^n به دست می آید. اندازه $A_{C/B}^n$ قابل محاسبه بوده و جهت $A_{C/B}^n$ نیز معلوم است. نقطه C^n محل تلاقی $A_{C/B}^n$ با خط $C^{n,c}$ است، نقطه D^n نیز با رسم $B^{n,c}$ به صورت تصویری از BCD^n به دست می آید. سعی دوم، تصویر آزمایشی B^n را به وجود می آورد. مکان هندسی D^n برای تعیین محل درست D^n روی $D^{n,c}$ به کار می رود. پس بردار O_4D^n همان A_D^n است. برای یافتن تصویر شتاب حقیقی میله ۳، $A_{C/D}^n$ و $A_{C/B}^n$ باید با A_B^n جمع شوند تا C^n مشخص شود. نقطه B^n نیز محل تلاقی خط $D^{n,c}$ با خط $B^{n,c}$ است.

۵.۷ مکانیسمهای هم ارز

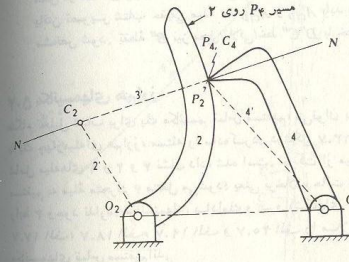
هنگام تجلیل شتاب برای یک مکانیسم تماس مستقیم، می توان با جایگزینی مکانیسم فوق با یک چهارمیله ای هم ارز، مسئله را ساده کرد. در شکل ۱۳.۷، مکانیسم تماس مستقیم شامل میله های ۱ و ۲ و ۴ نشان داده شده است. حرکت از میله محرک ۲ توسط تماس مستقیم به میله متحرک ۴ منتقل می شود؛ یعنی برخلاف حالت شکل ۷.۷ در این مکانیسم رابط ۳ وجود ندارد. مکانیسمهای بادامک و پیرو (شکلهای ۱۵.۷ الف، ۱۶.۷ الف، ۱۷.۷ الف، ۱۸.۷ الف، ۱۹.۷ الف و ۲۰.۷ الف را ملاحظه کنید) مثالهایی از مکانیسمهای تماس مستقیم اند.

در شکل ۱۳.۷، میله های ۱ و ۲ و ۴ میله های اصلی هستند. مکانیسم چهارمیله ای هم ارز با خطچین نشان داده شده و شامل میله های ۱ و ۲ و ۳ و ۴ است. مکانیسم



شکل ۱۳.۷

چهارمیله‌ای هم‌ارز مکانیسمی است که در آن سرعت و شتاب زاویه‌ای میله‌های ۲ و ۳ و میله متحرک ۴ با سرعت و شتاب زاویه‌ای میله‌های ۲ و ۴ در نقطه فوق برابر است. خط $N-N$ در شکل ۱۳-۷ بر پروفیلها عمود است. نقاط C_2 و C_4 به ترتیب مراکز انحنای اجسام ۲ و ۴ در نقطه تماس آنها یعنی P_2 و P_4 هستند. اگر مفصل اتصال میله‌های

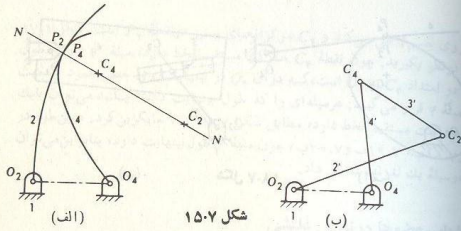


شکل ۱۳-۷

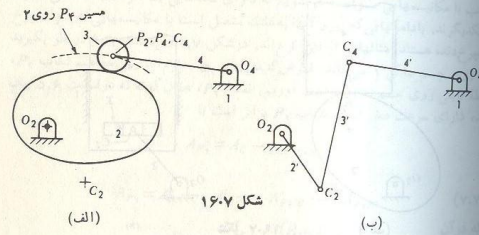
۳ و ۲ در نقطه C_2 قرار گیرد و مفصل اتصال میله‌های ۳ و ۴ نیز در نقطه C_4 باشد، در آن صورت میله‌های ۱، ۲، ۳ و ۴ یک مکانیسم چهارمیله‌ای هم‌ارز را تشکیل می‌دهند. در شکل ۱۴-۷، میله ۴ به عنوان نقطه‌ای از پیرو مطرح است زیرا تماس همواره در همین نقطه از میله ۴ صورت می‌گیرد. بنابراین شعاع انحنای P_2 و C_2 صفر است. همان‌طور که در شکل ۱۳-۷ نشان داده شده است، C_2 روی P_2 قرار می‌گیرد، و میله ۴ نیز از اتصال O_4 به C_4 به وجود می‌آید.

در شکل‌های ۱۵-۷ تا ۲۰-۷، مکانیسم‌های چهارمیله‌ای هم‌ارز تعدادی از مکانیسم‌ها نشان داده شده است. در هر حالت مکانیسم هم‌ارز دقیقاً همانند شکل ۱۳-۷ ساخته می‌شود. مشابه شکل ۱۴-۷، خطچین در شکل‌های ۱۶-۷ الف و ۱۷-۷ الف مسیری است.

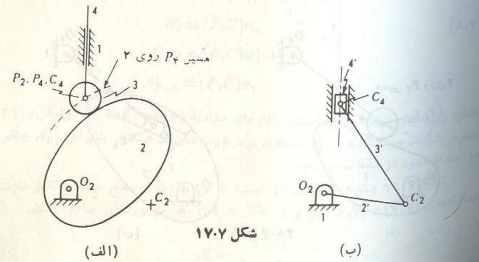
۱. اثبات این مکانیسم هم‌ارز در پیوست الف آمده است.



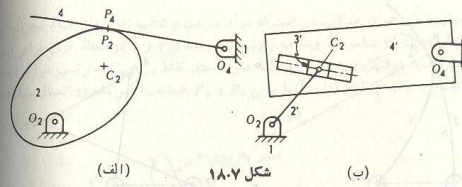
شکل ۱۵-۷



شکل ۱۶-۷



شکل ۱۷-۷



شکل ۱۸-۷

که P_4 روی جسم ۲ طی می‌کند و C_4 مرکز انحنای مسیر در نقطه P_4 است. شکل ۱۷-۷ الف را در نظر بگیرید. چون نقطه C_4 حرکت مستقیم‌الخط دارد، میله ۴ دارای طول بینهایت در امتداد C_4 به O_4 است، که در آن O_4 در بینهایت روی خطی عمود بر جهت حرکت میله ۴ قرار می‌گیرد. هر میله‌ای را که طول بینهایت داشته باشد می‌توان بایک لغزنده که حرکت مستقیم‌الخط دارد، مطابق شکل ۱۷-۷ ب، جایگزین کرد. همین‌طور در شکلهای ۱۸-۷ ا، ب، ۱۹-۷ ب و ۲۰-۷ ب، چون میله ۳ طول بینهایت دارد، بنابراین می‌توان آن را به وسیله یک لغزنده نمایش داد.

۶-۷ شتاب عضوها در تماس غلتشی

اغلب با مکانیسمهایی مواجه می‌شویم که دارای میله‌هایی با حرکت غلتشی نسبت به یکدیگرند. بادامکهایی که پیرو آنها به شاتک متصل است یا مکانیسمهایی که دارای چرخ یا چرخ‌دنده هستند. مثالهایی از این نوع اند. در شکل ۲۱-۷، دیسک ۲ را در نظر بگیرید که روی جسم ساکن ۱ می‌غلتند. فرض کنید ω_2 و α_2 معلوم اند و می‌خواهیم شتاب P_4 ، نقطه ثابتی روی جسم ۲، را به دست آوریم. نقطه P_4 همان‌گونه که در قسمت ۶-۵ بیان شد، دارای سرعت صفر است. شتاب P_4 برابر است با

$$A_{P_4} = A_C \rightarrow A_{P_4/C}$$

$$A_{P_4} = A_C^0 \rightarrow A_C^0 \rightarrow A_{P_4/C}^0 \rightarrow A_{P_4/C}^r \quad (7.7)$$

$$A_C^0 = \frac{V_C^0}{R_1 + R_2} = (R_2 \omega_2)^2 \quad \text{که در آن}$$

$$A_C^r = (P_4 C) \alpha_2 \quad (8.7)$$

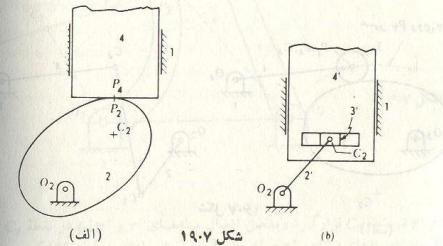
$$A_{P_4/C}^r = (P_4 C) \omega_2^2$$

$$A_{P_4/C}^0 = (P_4 C) \alpha_2$$

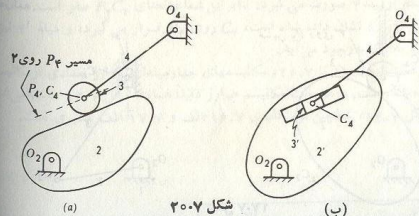
اندازه و راستای A_{P_4} مجهول است. بردارهای معادله (۷-۷) از نقطه O' در شکل ۲۱-۷ رسم می‌شوند. چون $A_{P_4/C}^0$ و A_C^0 مساوی و در جهت مخالف هستند. بنابراین A_{P_4} جفتی در امتداد عمود در نقطه تماس دارد.

شکل ۲۲-۷ مشابه شکل ۲۱-۷ است، با این تفاوت که سطح جسم ۱ تقعر دارد. معادله‌های (۷-۷) و (۸-۷) نیز برای شکل ۲۲-۷، بجز در مورد زیر صادق است.

$$A_C^0 = \frac{V_C^0}{R_1 - R_2}$$



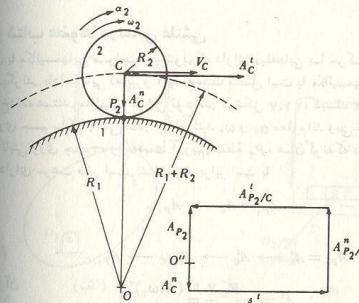
شکل ۱۹-۷



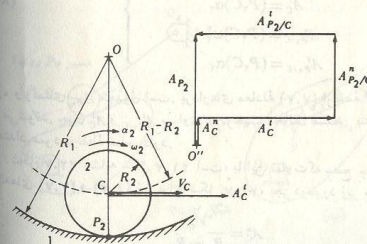
شکل ۲۰-۷

با بررسی چندضلعی شتاب در شکل ۲۲.۷ متوجه می شویم که A_{P_2} امتدادی در راستای عمود در نقطه تماس دارد زیرا $A_{P_2}^n$ و $A_{P_2}^t$ مساوی و در خلاف جهت یکدیگرند. اگر درشکلهای ۲۱.۷ و ۲۲.۷ جسم ۱ یک سطح صاف باشد، در آن صورت R_1 بینهایت می شود و خواهیم داشت:

$$A_C^n = \frac{V_C^2}{\infty} = 0$$



شکل ۲۱-۷



شکل ۲۲-۷

و علاوه اگر یک یا هر دو جسم غیر دایره باشند ولی در راستای طولشان تغییراتنا وجود داشته باشد. در آن صورت R_1 و R_2 در معادله های (۸.۷) به صورت شعاعهای آنها در نقطه تماس در نظر گرفته خواهند شد.

۷.۷ شتاب کریولیس

هرگاه نقطه ای از یک جسم در امتداد مسیری روی جسم دوم حرکت کند. و در صورتی که جسم دوم در حال دوران باشد، آن گاه شتاب نقطه جسم اول نسبت به نقطه منطبق بر آن از جسم دوم دارای یک مؤلفه کریولیس خواهد بود. در شکل ۲۳.۷، P_2 نقطه ای است روی لغزنده ۳ که در امتداد مسیر OF در جسم ۲ حرکت می کند. P_2 نیز نقطه ای ثابت روی مسیر است و در لحظه فوق P_2 و P_2' برهم منطبق اند. سرعت زاویه ای جسم ۲ و در نتیجه سرعت زاویه ای مسیر برابر ω_2 است. مسیر فوق دوباره در شکل ۲۳.۷ رسم شده است، که در آن $V_{P_2/P_2'}$ سرعت P_2 نسبت به P_2' است. در مدت زمان dt ، خط OF به اندازه $d\theta$ چرخیده و به موقعیت OF' می رسد. در طول این مدت، P_2 از P_2' به P_2'' حرکت می کند. نقطه P_2'' نیز از P_2' به P_2'' حرکت در نظر گرفت. جایجایی $P_2 P_2''$ با سرعت ثابت صورت می گیرد، زیرا OP_2 و ω_2 ثابت اند. همچنین $P_2' B$ نیز به علت ثابت بودن $V_{P_2/P_2'}$ با سرعت ثابت حرکت می کند. البته نشان داده خواهد شد که جایجایی BP_2'' حاصل وجود شتابی در این راستاست.

$$\text{Arc } BP_2'' = (P_2' B) d\theta$$

اما

$$P_2' B = V_{P_2/P_2'} dt \quad \text{و} \quad d\theta = \omega_2 dt$$

پس

$$BP_2'' = V_{P_2/P_2'} \omega_2 (dt)^2 \quad (9.7)$$

سرعت P_2 در راستای عمود بر خط OF برابر $\omega_2 (OP_2)$ است. چون ω_2 ثابت است و OP_2 با آهنگ ثابتی افزایش می یابد، بنابراین سرعت P_2 که بر خط OF عمود است نیز با آهنگ ثابتی افزایش می یابد. پس شتاب P_2 در راستای عمود بر OF ثابت است. برای جایجایی با شتاب ثابت داریم:

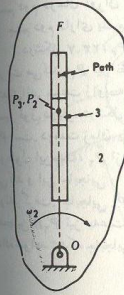
$$ds = \frac{1}{2} A (dt)^2$$

یا

$$BP'_r = \frac{1}{4} A(dt)^2 \quad (10.7)$$

حال از معادله‌های (۹.۷) و (۱۰.۷) داریم.

$$V_{P_1/P_2} \omega_2(dt) = \frac{1}{4} A(dt)^2$$



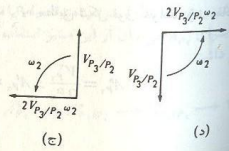
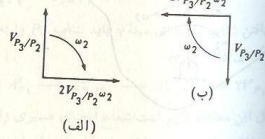
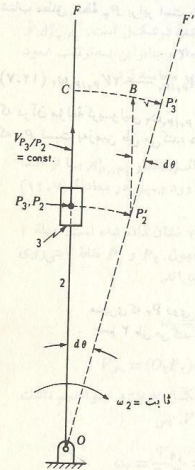
شکل ۲۳.۷

$$A = 4V_{P_1/P_2} \omega_2 \quad (11.7)$$

که مؤلفه کربولیس شتاب نقطه P_3 نامیده شده و توسط یک ریاضیدان فرانسوی به همین نام در قرن نوزدهم کشف شده است.

در شکل ۲۴.۷ الف، رابطه بین V_{P_1/P_2} ، ω_2 و V_{P_3/P_2} برای شکل ۲۴.۷ نشان داده شده است. شکل ۲۴.۷ ج یا ۲۴.۷ د برای حالتی که جهت ω_2 معکوس شود، رسم شده است. قاعده کار به این صورت است: شتاب کربولیس در جهت V_{P_1/P_2} است وقتی که آن را به اندازه 90° در جهت سرعت زاویه‌ای مسیر بچرخانیم. از معادله (۱۱.۷) درمی‌یابیم که اگر V_{P_1/P_2} یا ω_2 یا هر دو صفر باشند در آن صورت مؤلفه شتاب کربولیس وجود نخواهد داشت.

حالت عمومی حرکت نسبی دو جسم در یک صفحه در شکل ۲۵.۷ آمده است. P_1 نقطه‌ای ثابت از جسم ۲ و P_2 نقطه‌ای از جسم ۳ است که نسبت به ۲ حرکت می‌کند.



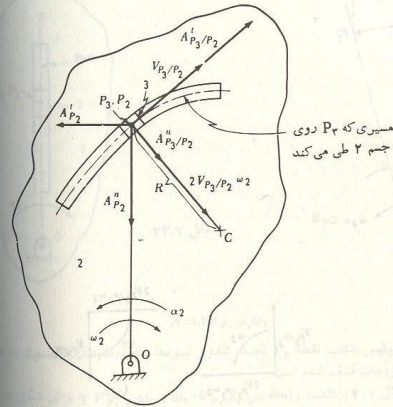
شکل ۲۴.۷

شتاب مطلق نقطه P_2 برابر است با

$$A_{P_2} = A_{P_1} \rightarrow A_{P_2/P_1}$$

$$A_{P_2} \rightarrow A_{P_2}^t = A_{P_2}^n \rightarrow A_{P_2}^t \rightarrow A_{P_2/P_1}^t \rightarrow A_{P_2/P_1}^n \rightarrow 2V_{P_2/P_1}\omega_2 \quad (12.7)$$

که در آن مؤلفه کریسولیس $2V_{P_2/P_1}\omega_2$ قسمتی از شتاب P_2 نسبت به P_1 است. مسیری که P_2 نسبت به زمین طی می کند، دایره ای به شعاع OP_2 است. بنابراین جهت $A_{P_2}^t$ و $A_{P_2}^n$



شکل ۲۵-۷

$A_{P_2}^t$ ، مؤلفه های عمودی و مماسی شتاب P_2 ، مطابق شکل فوق خواهد بود. مقادیر آنها نیز به صورت زیر به دست می آید:

$$A_{P_2}^t = \frac{V_{P_2}^2}{OP_2} \text{ و } A_{P_2}^n = (OP_2)\alpha_2$$

حرکت P_2 نسبت به جسم ۲ در امتداد مسیر نشان داده شده در شکل است. A_{P_2/P_1}^t و A_{P_2/P_1}^n مؤلفه های عمودی و مماسی شتاب P_2 نسبت به P_1 و بنابراین به ترتیب عمود و مماس بر مسیر هستند. A_{P_2/P_1}^t را می توان به صورت زیر محاسبه کرد

$$A_{P_2/P_1}^t = \frac{V_{P_2/P_1}^2}{R}$$

که شعاع انحنای مسیر در نقطه P_2 است. در مسائل مقدار A_{P_2/P_1}^t یا از ابتدا معلوم است یا می توان آنرا از چندضلعی شتاب به دست آورد و سپس در معادله (۱۲.۷) قرار داد.

مثال ۳۰.۷ یک مکانیسم زودبسرگشت در شکل ۲۶.۷ نشان داده شده است. میله ۲ طول ۳.۷ فوت است و سرعت و شتاب زاویه ای میله ۲ مجهول، P_2 و P_3 نقاط ثابتی روی میله های ۲ و ۳ هستند که در لحظه فوق برهم منطبق اند.

$$\omega_2 = 2\pi \left(\frac{9.5}{60} \right) = 0.995 \text{ rad/s}$$

$$V_{P_2} = (O_2P_2)\omega_2 = 0.152(0.995) = 0.151 \text{ m/s}$$

با در نظر گرفتن مقیاس چندضلعی سرعت در شکل ۲۷.۷، خواهیم داشت $V_{P_2} = 0.742 \text{ m/s}$ و $V_{P_3} = 0.131 \text{ m/s}$. پس

$$\omega_3 = \frac{V_{P_3}}{O_3P_3} = \frac{0.0742}{0.514} = 0.144 \text{ rad/s ccw}$$

پیش از یافتن شتاب زاویه ای میله ۳ باید شتاب P_3 را به دست آورد. مشابه معادله (۱۲.۷)، می توان نوشت

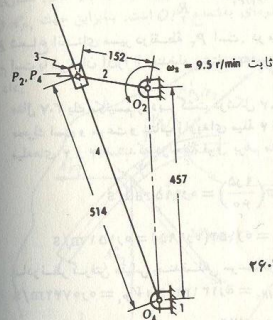
$$A_{P_3} = A_{P_2} \rightarrow A_{P_3}^t \rightarrow A_{P_3/P_2}^t \rightarrow A_{P_3/P_2}^n \rightarrow 2V_{P_3/P_2}\omega_2$$

برای حل این معادله لازم است شعاع انحنای مسیری را که P_3 روی جسم ۲ طی می کند، بدانیم. این مسیر شناخته شده نیست. اما مسیری که P_3 نسبت به ۳ طی می کند روی یک خط راست در امتداد میله واقع است. در صورت نوشتن معادله مذکور برای A_{P_3} می توان از این مسیر استفاده کرد. مشابه معادله (۱۲.۷) خواهیم داشت.

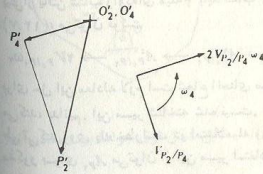
$$A_{P_3} \rightarrow A_{P_3}^t = A_{P_3}^n \rightarrow A_{P_3}^t \rightarrow A_{P_3/P_2}^t \rightarrow A_{P_3/P_2}^n \rightarrow 2V_{P_3/P_2}\omega_2 \quad (12.7)$$

که در آن

$$A_{P_2}^i = \frac{V_{P_2}^i}{O_2 P_2} = \frac{(0.151)^2}{0.152} = 0.150 \text{ m/s}^2$$



شکل ۳۶-۷



شکل ۳۷-۷

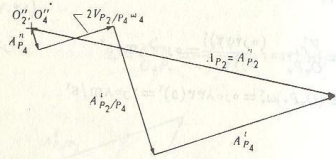
و چون $\alpha_2 = 0$ پس $A_{P_2}^i = 0$

$$A_{P_4}^i = \frac{V_{P_4}^i}{O_4 P_4} = \frac{0.0744}{0.0514} = 0.1447 \text{ m/s}^2$$

$$A_{P_4}^i = (O_4 P_4) \alpha_4$$

که در آن α_4 مجهول است.

$$A_{P_4}^i / P_4 = \frac{(V_{P_4} / P_4)^2}{R} = \frac{(0.1447)^2}{\infty} = 0$$



شکل ۳۸-۷

و $A_{P_4}^i / P_4$ نیز مجهول است و

$$2V_{P_4} / P_4 \omega_4 = 2(0.1447) \times 0.157 = 0.0457 \text{ m/s}^2$$

بنابراین اندازه‌های $A_{P_4}^i$ و $A_{P_4}^i / P_4$ تنها مجهولهای معادله (۳۷-۷) هستند. این مقادیر با رسم چندضلعی شتاب، که در شکل ۳۸-۷ آمده است، به دست می‌آیند. از آنجا مقدار $A_{P_4}^i$ ، با توجه به مقیاس، برابر 0.0921 m/s^2 می‌شود و در نتیجه

$$\alpha_4 = \frac{A_{P_4}^i}{O_4 P_4} = \frac{0.0921}{0.0514} = 0.179 \text{ rad/s}^2$$

مثال ۴۰-۷ بادامکی با پیرو نوسانی در شکل ۳۹-۷ نشان داده شده است، که در آن سرعت و شتاب زاویه‌ای بادامک معلوم و شتاب زاویه‌ای میله ۴ مطلوب است. فرض کنید کنید P_4 و P_2 نقاطی روی میله‌های ۲ و ۴ باشند که در لحظه فوق برهم منطبق اند. P_4 محور غلتک است و مسیری که نسبت به ۲ طی می‌کند در شکل رسم شده است. شعاع انحنای مسیر برابر 138 mm و مساوی مجموع شعاع بادامک و شعاع غلتک است. مرکز انحنای بادامک است. داریم

$$V_{P_4} = (O_4 P_4) \omega_4 = (0.0823) \times 5 = 0.4115 \text{ m/s}$$

چندضلعی سرعت در شکل ۳۰.۷ نشان داده شده است. V_{P_4} باتوجه به مقیاس، برابر 213 m/s می شود و V_{P_1/P_2} نیز مساوی 533 m/s خواهد شد. پس

$$\omega_4 = \frac{V_{P_4}}{O_4 P_4} = \frac{213}{191} = 1.12 \text{ rad/s cw}$$

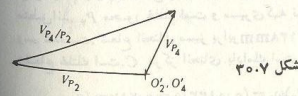
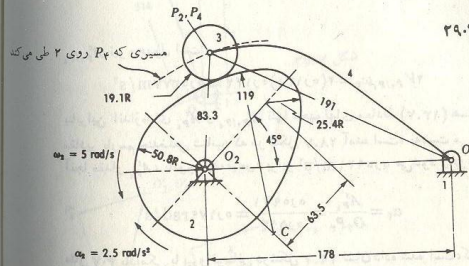
برای یافتن شتاب زاویه ای میله ۴ باید شتاب P_4 را بیابیم. پس

$$A_{P_4}^n \rightarrow \vec{A}_{P_4}^i = A_{P_4}^n \rightarrow A_{P_4}^t \rightarrow A_{P_1/P_2}^n \rightarrow \vec{A}_{P_1/P_2}^i \rightarrow 2V_{P_1/P_2} \omega_2 \quad (14.7)$$

$$A_{P_4}^n = \frac{V_{P_4}^2}{O_4 P_4} = \frac{(213)^2}{191} = 238 \text{ m/s}^2 \quad \text{که در آن}$$

$$A_{P_4}^t = (O_4 P_4) \omega_4^2 = 191(1.12)^2 = 240 \text{ m/s}^2$$

شکل ۳۰.۷



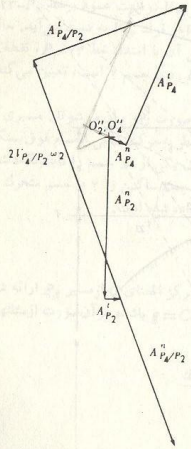
$$A_{P_1}^t = (O_2 P_1) \alpha_2 = 0.0833(2.5) = 0.208 \text{ m/s}^2$$

$$A_{P_1/P_2}^t = \frac{V_{P_1/P_2}^2}{C P_1} = \frac{(0.533)^2}{0.138} = 2.06 \text{ m/s}^2$$

$$2V_{P_1/P_2} \omega_2 = 2(0.533)(5) = 5.33 \text{ m/s}^2$$

در معادله (۱۴.۷)، فقط اندازه های A_{P_1/P_2}^i و $A_{P_1}^t$ مجهول است. شکل ۳۱.۷ چندضلعی شتاب را نشان می دهد. $A_{P_1}^t$ باتوجه به مقیاس برابر 197 m/s^2 است. پس

$$\alpha_4 = \frac{A_{P_1}^t}{O_4 P_1} = \frac{197}{0.191} = 1032 \text{ rad/s}^2 \text{ cw}$$



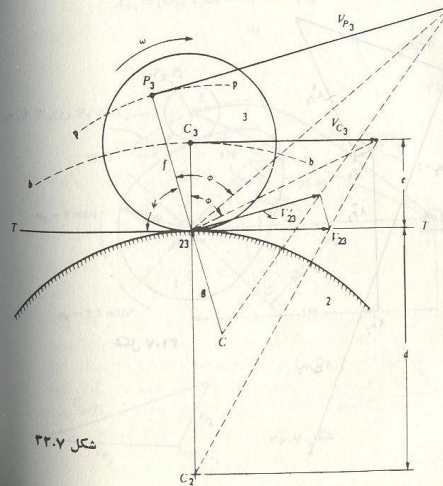
شکل ۳۱.۷

۸.۷ ساختار هارتمن

ساختار هارتمن یک روش تریسمی است که برای یافتن مرکز انحنای مسیر طی شده توسط یک نقطه از جسم در حال حرکت به کار می رود.

در شکل ۳۲.۷ اجسام ۲ و ۳ به شکل دایره‌اند و مراکز آنها C_2 و C_3 است. جسم ۲ ساکن است و جسم ۳ روی آن می‌غلتد. P_3 نقطه‌ای روی جسم ۳ و P_2 مسیری است که روی جسم ۲ طی می‌شود. مرکز انحنای C برای این مسیر باید تعیین شود. روش حل به صورت زیر است. چون اجسام فوق تماس غلغشی دارند، مرکز آنی دوران مشترک آنها در نقطه تماس ۲۳ قرار می‌گیرد. نقطه C_3 مسیر دایره شکل $b-a$ را حول C_2 طی می‌کند. V_{C_3} سرعت مرکز C_3 ناشی از دوران آن حول مرکز آنی ۲۳ با سرعت زاویه‌ای ω است که یک طول اختیاری مناسب برای آن انتخاب می‌شود. بنابراین

$$V_{C_3} = e\omega \quad (۱۵.۷)$$



شکل ۳۲.۷

شعاع دوران C_3 که حول مرکز آنی دوران ۲۳ می‌چرخد، برابر $۲۳-C_3$ است و آن را یک شعاع می‌نامند. خطی که ۲۳ را به نونک V_{C_3} وصل می‌کند، خط ممیز نامیده می‌شود. زاویه‌ای که به وسیله شعاع $۲۳-C_3$ و خط ممیز تشکیل می‌شود، زاویه معیار ϕ برای جسم متحرک نام دارد. پس

$$V_{C_3} = e \tan \phi \quad (۱۶.۷)$$

مرکز آنی دوران ۲۳ نقطه مشترکی از اجسام ۲ و ۳ بوده و سرعت خطی آن در هر دو جسم یکسان و برابر صفر است. بنابراین وقتی جسم ۳ روی جسم ۲ می‌غلتد، در هر لحظه، مرکز آنی دوران جدید ۲۳ نیز برای هر نقطه تماس وجود دارد. سرعت حرکت و انتشار ۲۳ در امتداد جسم ۲ نیز همان $V_{۲۳}$ است. اندازه آن با رسم خطی از C_3 به نونک V_{C_3} تعیین می‌شود. خط $۲۳-P_3$ شعاع نقطه P_3 است. حال از این خط، زاویه ϕ را برای رسم خط ممیز جدا می‌کنیم. V_{P_3} عمود بر $۲۳-P_3$ است و اندازه‌اش نیز به وسیله تلافی آن با خط ممیز به دست می‌آید، آن‌گاه $V_{۲۳}$ مؤلفه V_{P_3} در جهت عمود بر خط $۲۳-P_3$ ، رسم می‌شود. اندازه آن نیز با رسم خط عمود بر $V_{۲۳}$ از نونک V_{P_3} به دست می‌آید. حال خطی از نونک V_{P_3} به نونک $V_{۲۳}$ کشیده می‌شود. تلافی آن با امتداد خط $۲۳-P_3$ ، نقطه C را، که مرکز انحنای مسیر P_2 طی شده توسط P_3 روی جسم ۲ است، تعیین می‌کند. پس شعاع انحنای مسیر فوق است.

قواعد به کار رفته در کاربرد ساختار هارتمن به صورت زیر بیان می‌شوند. مسیری که نقطه‌ای در یک جسم نسبت به جسم دیگر طی می‌کند فقط به حرکت نسبی اجسام فوق بستگی دارد. بنابراین هنگام استفاده از ساختار هارتمن می‌توان یکی از دو جسم را ثابت نگه‌داشته و حرکت جسم دیگر را نسبت به آن در نظر گرفت. جسم ساکن را ۲ و جسم متحرک را جسم ۳ می‌نامیم. در شکل ۳۲.۷ روش کار توضیح داده شده است.

۹.۷ معادله اول-ساواری

در شکل ۳۲.۷، روش تحلیلی ساده‌ای برای یافتن مرکز انحنای C از مسیر P_2 ارائه شده است. در شکل مذکور اگر $f = ۲۳-P_3$ و $g = C-۲۳$ باشد، در آن صورت از مثلثهای متشابه خواهیم داشت

$$\frac{d+e}{d} = \frac{V_{C_3}}{V_{۲۳}}$$

و با جایگزینی V_{C_2} از معادله (۱۵.۷).

$$\frac{d+e}{d} = \frac{e\omega}{V_{T_2}} \quad \text{یا} \quad \frac{d+e}{de} = \frac{\omega}{V_{T_2}}$$

بنابراین

$$\frac{1}{d} + \frac{1}{e} = \frac{\omega}{V_{T_2}} \quad (۱۷.۷)$$

شعاع نقطه P_2 $f = P_2 - C_2$ و سرعت آن برابر است با

$$V_{P_2} = f\omega$$

یا

$$V_{P_2} = f \tan \phi \quad (۱۸.۷)$$

اگر $T-T$ خط گذرا از P_2 و عمود بر خط C_2C_3 ، و ψ زاویه بین خط $P_2 - C_2$ و خط $T-T$ باشد، خواهیم داشت

$$V_{T_2} = V_{T_2} \sin \psi \quad (۱۹.۷)$$

چون داریم $f = P_2 - C_2$ و $g = C_2 - C_3$ پس

$$\frac{f+g}{g} = \frac{V_{P_2}}{V_{T_2}} \quad (۲۰.۷)$$

با جایگزینی معادله‌های (۱۸.۷) و (۱۹.۷) در (۲۰.۷) داریم

$$\frac{f+g}{g} = \frac{f\omega}{V_{T_2} \sin \psi}$$

$$\frac{f+g}{fg} = \frac{\omega}{V_{T_2} \sin \psi}$$

یا

و

$$\left(\frac{1}{f} + \frac{1}{g}\right) \sin \psi = \frac{\omega}{V_{T_2}} \quad (۲۱.۷)$$

از ترکیب معادله‌های (۱۷.۷) و (۲۱.۷) معادله زیر حاصل می‌شود که به آن معادله

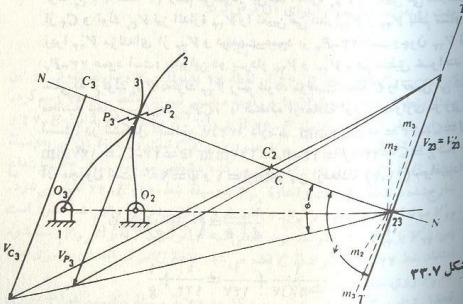
اول - ساداری می‌گویند،

$$\frac{1}{d} + \frac{1}{e} = \left(\frac{1}{f} + \frac{1}{g}\right) \sin \psi \quad (۲۲.۷)$$

که در آن $d = C_2 - P_2$ و $e = P_2 - C_2$ و $f = P_2 - C_2$ و $g = C_2 - C_3$ و ψ زاویه‌ای است که خط $P_2 - C_2$ با خط $T-T$ عمود بر C_2C_3 می‌سازد. بنابراین شعاع انحنای R مسیری که P_2 روی جسم ۲ طی می‌کند برابر است با

$$R = CP_2 = f + g \quad (۲۳.۷)$$

معادله‌های (۲۲.۷) و (۲۳.۷) برای اجسامی با سطوح تماس دایره‌ای شکل به دست آمده است، ولی این معادله‌ها را می‌توان برای اجسام دیگری که سطوح تماس آنها در امتداد طولشان شعاعهای متغیر دارند نیز به کار گرفت. طولهای d و e باید به عنوان شعاعهای انحنای آنها در نقطه تماس در نظر گرفته شود، و هر کدام از اجسام ممکن است مسطح یا مقعر باشند. معادله‌های (۲۲.۷) و (۲۳.۷) برای دو جسم محذب، یا یکی محذب و دیگری مسطح، برقرار است و می‌توان طبق قاعده زیر به این معادله‌ها عمومیت بخشید. هر یک از طولهای داده شده در معادله‌های (۲۲.۷) و (۲۳.۷) زمانی مثبت فرض می‌شود که، مطابق باشیوه نوشتن آن در ذیل معادله (۲۲.۷)، در همان جهت امتداد یابد که ما برای رفتن از جسم ۲ به جسم ۳ در نقطه تماس، طی می‌کردیم. مثال ۵۰۷ مکانیسم شکل ۳۳.۷ را برای نمایش چگونگی کاربرد ساختار هارتن و



معادله اولر - ساواری در نظر بگیرید. فرض کنید می‌خواهیم تحلیل شتاب را برای آن انجام دهیم. ساده‌ترین روش عبارت است از رسم چهارمیله‌ای هم‌ارز آن و تحلیل شتاب مربوط به این مکانیسم. اما اگر خواسته باشیم خود مکانیسم داده شده را تحلیل کنیم باید شتاب نسبی نقاط منطبق برهم، یعنی $P_۳$ و $P_۴$ را در نظر بگیریم، به همان گونه‌ای که در قسمت ۷.۷ توضیح داده شد. برای به دست آوردن شتاب عمودی $P_۳$ نسبت به $P_۴$ ، باید شعاع انحنای مسیری که $P_۳$ به عنوان نقطه‌ای ثابت از جسم ۳ روی جسم ۲ طی می‌کند را به دست آوریم. در شکل ۳۳.۷، شعاع این مسیر $P_۴C_۳$ است. نقاط $C_۳$ و $C_۴$ نیز مراکز انحنای اجسام ۲ و ۳ هستند. چون نقطه تماس روی خط $O_۳O_۴$ قرار ندارد، بنابراین اجسام فوق دارای تماس غلتشی‌اند و مرکز آنی دوران ۲۳ در محل تلاقی عمود بر $C_۳C_۴$ با خط مراکز $O_۳O_۴$ واقع است.

استفاده از ساختار هارتمن برای یافتن نقطه C ، مطابق آنچه که در شکل ۳۳.۷ توضیح داده شد، صورت می‌گیرد. در شکل ۳۳.۷، مکانهای هندسی مراکز آنی دوران مربوط به اجسام ۲ و ۳ دایره‌هایی هستند که از مرکز آنی دوران گذشته و بر یکدیگر می‌غلطند. به طور مشابه در شکل ۳۳.۷، دو مکان هندسی مرکز آنی دوران داریم (منحنیها نشان داده نشده‌اند) که از مرکز آنی ۲۳ می‌گذرند. این مکانهایوی یکدیگر می‌غلطند. جسم ۲ را ثابت نگهداشته‌ایم و دوران جسم ۳ را حول نقطه ۲۳ در نظر می‌گیریم. ابتدا $V_{C_۳}$ رسم می‌شود که جهت آن می‌تواند در سوی نشان داده شده یا در جهت مخالف آن، و با طولی مناسب، اختیار شود. آن گاه خطی از نوك $V_{C_۳}$ به نقطه ۲۳ رسم می‌شود. این خط اندازه $V_{P_۳}$ را تعیین می‌کند. خط گذرا از $C_۳$ و نوك $V_{C_۳}$ نیز اندازه $V_{۳۳}$ را تعیین می‌کند. $V_{۳۳}$ با هم مساوی‌اند زیرا $V_{۳۳}$ مؤلفه‌ای از $V_{۳۳}$ و در جهت عمود بر $P_۳-C_۳$ است و چون $V_{۳۳}$ نیز بر $P_۳-C_۳$ عمود است، بنابراین دو بردار $V_{۳۳}$ و $V_{۳۳}$ برهم منطبق خواهند بود. خطی که از نوك $V_{P_۳}$ به نوك $V_{۳۳}$ رسم شود، موقعیت نقطه C را تعیین می‌کند. محاسبه شعاع مسیر، یعنی $CP_۳$ ، با استفاده از معادله اولر - ساواری در زیر آمده است. در شکل اصلی ۳۳.۷، داریم $589.4mm = d = C_۳-P_۳$ و $137mm = e = C_۳-P_۳$ ؛ $f = 23-P_۳ = 122mm$ ؛ $g = C-P_۳$ که طول آن مجهول است. $90^\circ = \psi$ و $1 = \sin \psi$. پس از معادله (۲۲.۷) خواهیم داشت

$$\frac{1}{d} + \frac{1}{e} = \left(\frac{1}{f} + \frac{1}{g}\right) \sin \psi$$

$$\frac{1}{-589.4} + \frac{1}{137} = \frac{1}{122} + \frac{1}{g}$$

$$-\frac{1}{g} = -0.0171 + 0.00680 = 0.00820 + \frac{1}{g}$$

$$\frac{1}{g} = -0.0185 \quad g = -54.1mm$$

از معادله (۲۳.۷) داریم

$$R = CP_۳ = f + g = 122 - 54.1 = 67.9mm$$

خط $CP_۳$ دارای جهتی از جسم ۲ به جسم ۳ است زیرا اندازه R مثبت است. بنابراین C در طرف راست $P_۳$ در شکل قرار می‌گیرد. مثال ۶۰.۷ مکانیسم بادامک شکل ۳۴.۷ شامل میله‌های ۲، ۱ و ۴ است. نقاط $P_۳$ ، $P_۴$ نقاط تماس‌اند. می‌خواهیم با توجه به شتاب نسبی بین نقاط منطبق برهم $P_۳$ و $P_۴$ ، تحلیل شتاب را انجام دهیم. بنابراین لازم است شعاع انحنای مسیر $P_۳$ به عنوان نقطه ثابتی از جسم ۴ را، که روی جسم ۲ طی می‌کند، به دست آوریم. ساختار هارتمن، برای تعیین مرکز انحنای این مسیر، در شکل فوق آمده است. $C_۳$ مرکز انحنای بادامک در نقطه $P_۳$ است. مرکز آنی دوران ۲۴ در محل تلاقی خط عمود گذرا از نقطه تماس با خط مراکز $O_۳O_۴$ قرار دارد. $C_۴$ مرکز انحنای پیرو، در بینهایت واقع است، طبق روش بخش ۸.۷، میله ۲ را ثابت نگه داشته و حرکت میله ۴ را نسبت به ۲ در نظر می‌گیریم. $V_{C_۴}$ باید عمود بر $C_۳-P_۳$ باشد و می‌توان جهت روبه‌راست یا چپ را برای آن فرض کرد.

$$V_{C_۴} = \infty$$

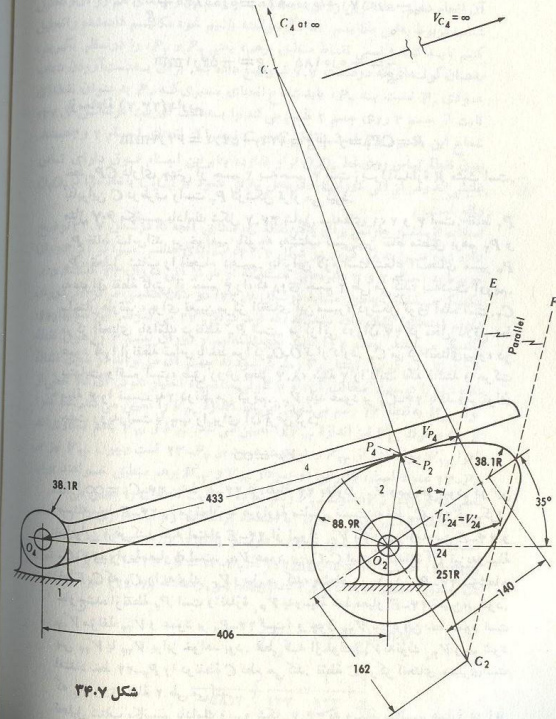
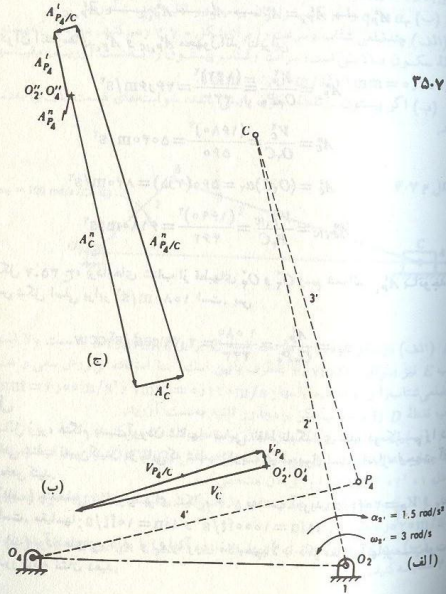
زیرا $C_۳-P_۳ = \infty$. خط $E-P_۳$ از نقطه ۲۴ به نوك $V_{C_۴}$ وصل می‌شود. در این مسئله، خط $E-P_۳$ را می‌توان با هر زاویه مناسبی نسبت به خط $C_۳-P_۳$ رسم کرد. بنابراین فرض کنید که امتداد $E-P_۳$ از نوك $V_{C_۴}$ بگذرد. زاویه بین $E-P_۳$ و $C_۳-P_۳$ ، زاویه معیار ψ است. $V_{۳۳}$ عمود بر $C_۳-P_۳$ است و اندازه آن نیز به وسیله خط $C_۳-P_۳$ که $C_۴$ را به نوك $V_{C_۴}$ وصل می‌کند، مشخص می‌شود. $P_۳-C_۳$ نیز شعاع خارج شده از نقطه $P_۳$ است و اندازه $V_{P_۳}$ به وسیله خط معیار $E-P_۳$ تعیین می‌شود. $V_{۳۳}$ مؤلفه $V_{۳۳}$ و عمود بر $P_۳-C_۳$ است، و چون $V_{۳۳}$ نیز بر این خط عمود است پس $V_{۳۳}$ با $V_{۳۳}$ برابر خواهد بود. خطی که از نوك $V_{P_۳}$ به نوك $V_{۳۳}$ رسم شود امتداد خط $P_۳-C_۳$ را در نقطه C قطع می‌کند. نقطه C مرکز انحنای مسیری است که $P_۳$ روی میله ۲ طی می‌کند.

تحلیل شتاب مکانیسم بادامک و پیرو شکل ۳۴.۷ به وسیله مکانیسم هم‌ارز در زیر

آمده است. چهارمیله‌ای هم‌ارز در شکل ۳۵.۷ رسم شده است، که مانند شکل ۱۴.۷ از میله‌های ۱، ۲، ۳ و ۴ تشکیل شده است. در شکل ۱۴.۷، شعاع انحنای مسیری که P_4 روی میله ۲ طی می‌کند، P_4C_4 است؛ فرض کنید در شکل ۳۴.۷، $\omega_2 = 3 \text{ rad/s ccw}$ و $\alpha_2 = 1.5 \text{ rad/s}^2 \text{ ccw}$ و ω_4 و α_4 نیز باید به دست آیند. باتوجه به مکانیسم هم‌ارز شکل ۳۵.۷، خواهیم داشت

$$V_C = (O_2C)\omega_2 = 560(3) = 1680 \text{ m/s}$$

شکل ۳۵.۷



شکل ۳۴.۷

سرعتها در شکل ۳۵.۷، از قطب O'_p و O''_p رسم می‌شوند. باتوجه به مقیاس، $V_{P_4/C}$ برابر 142 m/s و $V_{P_4/C}$ نیز مساوی 1690 m/s خواهد شد. بنابراین

$$\omega_{P_4} = \frac{V_{P_4/C}}{O'_p P_4} = \frac{142}{433} = 0.328 \text{ rad/s ccw}$$

برای شتابها،

$$A_{P_4}^n \rightarrow A_{P_4}^t \rightarrow A_{P_4/C}^n \rightarrow A_{P_4/C}^t$$

که در آن اندازه‌های $A_{P_4/C}^n$ و $A_{P_4}^t$ مجهول‌اند. بنابراین

$$A_{P_4}^n = \frac{V_{P_4}^2}{O_p P_4} = \frac{(142)^2}{433} = 466 \text{ m/s}^2$$

$$A_{P_4}^t = \frac{V_{P_4}^2}{O_p C} = \frac{(1690)^2}{560} = 5040 \text{ m/s}^2$$

$$A_{P_4}^t = (O_p C) \alpha_4 = 560(1.8) = 1008 \text{ m/s}^2$$

$$A_{P_4/C}^n = \frac{V_{P_4/C}^2}{P_4 C} = \frac{(1690)^2}{462} = 6180 \text{ m/s}^2$$

در شکل ۳۵.۷، بردارهای شتاب از قطبهای O'_p و O''_p رسم شده‌اند. $A_{P_4}^t$ باتوجه به مقیاس شکل اصلی برابر 1008 m/s^2 است. پس

$$\alpha_4 = \frac{A_{P_4}^t}{O_p P_4} = \frac{1008}{433} = 2.33 \text{ rad/s}^2 \text{ ccw}$$

مسائل

در مسائل زیر، هنگام بدست آوردن شتابها، تمامی نقاط نامگذاری شده در مکانیسم را در چندنقطه‌ای شتاب تعیین کنید. درجایی که شتاب زاویه‌ای مجهول است، اندازه و جهت آن را مشخص کنید.

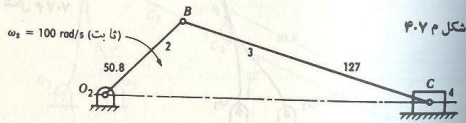
۱۰۷ (الف) چندنقطه‌ای شتاب را برای شکل ۱.۶ به دست آورید. $V_B = 20 \text{ ft/s}$ و ω_4 ثابت است. مقیاسها: $1 \text{ in} = 100 \text{ ft/s}^2$ و $1 \text{ in} = 10 \text{ ft/s}$.

(ب) بردارهای A_B و A_C را روی مکانیسم بالا با ذکر مقادیر آنها بر حسب انوت بر مجذور ثانیه نشان دهید.

۳.۷ (ج) α_4 و α_3 را بر حسب رادیان بر مجذور ثانیه به دست آورید. (الف) چندنقطه‌ای شتاب را برای شکل ۴.۴ رسم کنید. $V_B = 610 \text{ m/s}$ ، مقیاسها: $1 \text{ mm} = 0.120 \text{ m/s}$ و $1 \text{ mm} = 170 \text{ m/s}^2$. مقادیر A_B و A_C را بر حسب متر بر مجذور ثانیه به دست آورید.

(ب) α_4 را بر حسب رادیان بر مجذور ثانیه تعیین کنید. (الف) چندنقطه‌ای شتاب را برای شکل ۳.۶ رسم کنید. مقیاسها: $1 \text{ in} = 25 \text{ in/s}$ و $1 \text{ in} = 750 \text{ in/s}^2$.

(ب) α_4 و α_3 را بر حسب رادیان بر مجذور ثانیه به دست آورید. (الف) چندنقطه‌ای شتاب و سرعت را برای شکل ۴.۷ رسم کنید. در زمانی که پیستون در نقطه سکون بالایی است، سرعت و شتاب پیستون را به دست آورید. مقیاسها: $1 \text{ mm} = 0.100 \text{ m/s}$ و $1 \text{ mm} = 1000 \text{ m/s}^2$. (ب) اگر پیستون در نقطه سکون پایینی باشد، خواسته‌های قسمت الف را به دست آورید.



شکل ۴.۷ م

۵.۷ (الف) در شکل م ۱.۲، سرعت نقطه E برابر 457 m/s و به سمت بالا است و شتاب E نیز برابر 457 m/s^2 به طرف پایین است. با استفاده از روش سعی و خطا، چندنقطه‌ای شتاب را رسم کنید. مقیاسها: $1 \text{ mm} = 0.120 \text{ m/s}$ و $1 \text{ mm} = 600 \text{ m/s}^2$.

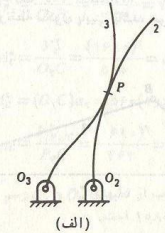
(ب) α_4 و α_3 را بر حسب رادیان بر مجذور ثانیه به دست آورید. (الف) چندنقطه‌ای سرعت و شتاب را برای شکل ۲.۹، یعنی $O_4 C P_4 O_3$ ، رسم کنید و میله‌های معادل ۱، ۲، ۳ و ۴ را روی آن مشخص کنید.

(الف) چندنقطه‌ای سرعت و شتاب را رسم کنید. مقیاسها: $1 \text{ mm} = 0.055 \text{ m/s}$ و $1 \text{ mm} = 0.20 \text{ m/s}^2$.

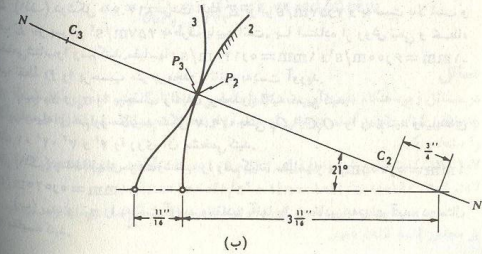
(ب) ω_4 و α_4 را به دست آورید و مقادیر آنها را با مقادیر به دست آمده در مثال ۲.۷ مقایسه کنید.

۷.۷ در شکل م ۷.۷ الف، اجسام ۲ و ۳ دارای تماس لغزشی هستند. در شکل م ۷.۷ ب، میله‌های ۲ و ۳ دوباره نشان داده شده‌اند. شعاع انحنا در نقطه تماس برای میله ۲ برابر $C_2P_2 = 3 \text{ in}$ و برای میله ۳ برابر $C_3P_3 = 2 \text{ in}$ است. حرکت ۳ نسبت به ۲ را می‌توان با در نظر گرفتن اینکه میله ۲ ساکن است و میله ۳ در نقطه P روی ۲ می‌لغزد، تحلیل کرد.

(الف) فرض کنید بردار V_{C_2} با طول $4 \frac{V}{A} \text{ in}$ در طرف چپ C_2 به طرف پایین رسم شده است. با استفاده از ساختار هارتمن به طور تریسمی محل مرکز انحنا مسیری را که P_2 روی ۲ طی می‌کند، به دست آورید. شعاع انحنا را از روی شکل، اندازه بگیرید. (ب) با استفاده از معادله اولر - ساواری، شعاع انحنا را محاسبه کنید.



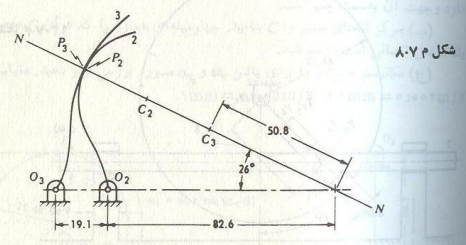
شکل م ۷.۷



(ب)

۸.۷ در شکل م ۸.۷، اجسام ۲ و ۳ تماس لغزشی دارند. شعاع انحنا آنها در نقطه تماس به ترتیب برابر $C_2P_2 = 259 \text{ mm}$ و $C_3P_3 = 508 \text{ mm}$ است. همان گونه که در مسئله قبل گفته شد، حرکت ۳ نسبت به ۲ را می‌توان با ثابت فرض کردن ۲ و لغزیدن جسم ۳ روی ۲ در نقطه P مورد بررسی قرار داد.

(الف) فرض کنید بردار V_{C_2} به طول 1991 mm در طرف چپ C_2 و به طرف پایین رسم شده است. با استفاده از ساختار هارتمن به صورت تریسمی مرکز انحنا مسیری را که P_2 نسبت به ۲ طی می‌کند، به دست آورید. شعاع انحنا را از روی شکل اندازه بگیرید. (ب) با استفاده از معادله اولر - ساواری، شعاع انحنا را محاسبه کنید.



شکل م ۸.۷

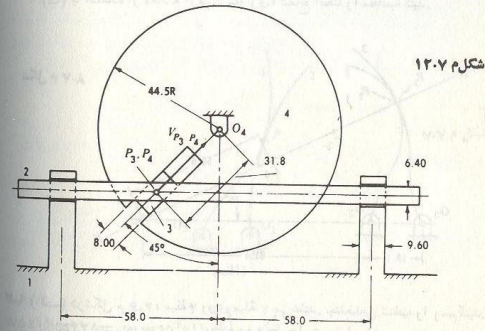
۹.۷ در شکل م ۹.۷، میله ۴ روی میله ۱ می‌غلتد. چندضلعی شتاب را رسم کنید. مقیاسها: $\omega_4 = 144 \text{ rad/scw}$ و $\alpha_4 = 1000 \text{ rad/s}^2 \text{ ccw}$ است. مقیاسها: $1 \text{ mm} = 0.12 \text{ m/s}$ و $1 \text{ mm} = 120 \text{ m/s}^2$.

(ب) α_4 و α_3 را بر حسب رادیان بر مجذور ثانیه به دست آورید. در شکل م ۱۰.۷، روی مفصل میله ۳، نقاط منطبق برهم P_2 و P_3 را به ترتیب روی میله‌های ۲ و ۳ نامگذاری کنید. $\omega_3 = 120 \text{ rad/s}$ و ثابت است.

(الف) چندضلعی شتاب نقاط O_2, P_2, P_3, C_2 را رسم کنید. مقیاسها: $1 \text{ mm} = 0.12 \text{ m/s}$ و $1 \text{ mm} = 600 \text{ m/s}^2$.

(ب) α_4 را بر حسب رادیان بر مجذور ثانیه به دست آورید. مقیاسها: چندضلعی شتاب را برای شکل م ۸.۶ رسم کنید. $\omega_4 = 15 \text{ rad/s}$ و ثابت است. متر بر مجذور ثانیه به دست آورید. $1 \text{ mm} = 0.24 \text{ m/s}^2$ و $1 \text{ mm} = 0.12 \text{ m/s}$ شتاب میله ۴ را بر حسب

۱۳۰۷ در شکل م ۱۲۰۷، دیسک ۴ توسط میله ۲، که خود مطابق شکل در راهنماها می‌لغزد، رانده می‌شود. جسم ۳ در نقطه P_3 روی میله ۲ مفصل شده است. سرعت میله ۲ ثابت و سرعت لحظه‌ای لغزنده ۳ روی میله ۴ برابر 38.1 m/s به سمت مرکز میله ۳ است.
 (الف) چندضلعیهای سرعت و شتاب نقاط O_4 ، P_4 و P_3 را رسم کنید. مقیاسها: $1 \text{ mm} = 0.0001 \text{ m/s}^2$ و $1 \text{ mm} = 0.0001 \text{ m/s}$
 (ب) α_4 را به بدست آورید.



شکل م ۱۲۰۷

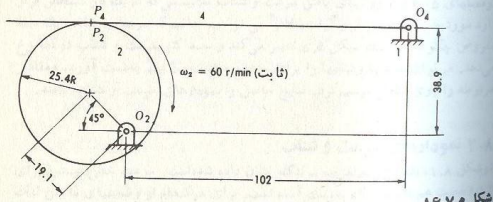
۱۳۰۷ در شکل م ۱۳۰۷، جسم ۱ می‌لغزد. $\omega_4 = 18 \text{ rad/s}$ و ω_4 ثابت است.
 (الف) چندضلعی شتاب را رسم کنید. مقیاسها: $1 \text{ mm} = 0.0012 \text{ m/s}^2$ و $1 \text{ mm} = 0.003 \text{ m/s}^2$
 (ب) α_4 را بر حسب رادیان بر مجذور ثانیه به دست آورید.
 ۱۳۰۷ (الف) چندضلعی شتاب را برای مکانیسم شکل م ۱۱۰۶ رسم کنید. مقیاسها: $1 \text{ mm} = 0.0005 \text{ m/s}^2$ و $1 \text{ mm} = 0.0005 \text{ m/s}$
 (ب) α_4 و α_6 را بر حسب رادیان بر مجذور ثانیه به دست آورید.
 ۱۵۰۷ فرض کنید بادامک شکل م ۷۰۶، سرعت زاویه‌ای ثابت 300 r/min در خلاف جهت گردش عقربه‌های ساعت دارد.

(الف) با استفاده از معادله اولر - ساواری، شعاع انحنا مسیری را که نقطه P_4 از جسم ۴ روی جسم ۲ طی می‌کند به دست آورید. مرکز انحنا را با C نامگذاری کنید.

(ب) چهار میله‌ای هم‌اوز مکانیسم فوق را رسم کنید. P_4C را به عنوان نقطه انتهایی میله ۳' و میله ۴' را به صورت یک لغزنده در نظر بگیرید. مکانیسم هم‌اوز را برای یافتن سرعت و شتاب میله ۴ مورد بررسی قرار دهید. مقیاسها: $1 \text{ mm} = 0.018 \text{ m/s}$ و $1 \text{ mm} = 0.036 \text{ m/s}^2$

۱۳۰۷ (الف) برای مکانیسم بادامک شکل م ۱۳۰۷، از معادله اولر - ساواری برای محاسبه شعاع انحنا مسیری که P_4 روی جسم ۲ طی می‌کند استفاده کنید. جواب خود را با مقدار به دست آمده از ساختار هارتمن مقایسه نمایید. فرض کنید $V_{P_4} = 25 \text{ mm}$ طول دارد و جهت آن به سمت چپ است.

(ب) مرکز انحنا مسیر را C بنامید. چهار میله‌ای هم‌اوز را که در آن C به عنوان یک مفصل اتصالی است، رسم کنید.
 (ج) مکانیسم هم‌اوز را برای یافتن ω_4 و α_4 مورد بررسی قرار دهید. مقیاسها: $1 \text{ mm} = 0.005 \text{ m/s}^2$ و $1 \text{ mm} = 0.002 \text{ m/s}$



شکل م ۱۳۰۷

۱۷۰۷ (الف) در شکل ۳۴۰۷، از معادله اولر - ساواری برای محاسبه شعاع انحنا مسیری که P_4 روی میله ۲ طی می‌کند، استفاده کنید. جواب خود را با مقدار به دست آمده از روش ساختار هارتمن در مثال ۶۰۷ مقایسه کنید.

(ب) مکانیسم را در یک چهارم اندازه آن رسم کنید. چندضلعیهای سرعت و شتاب را نیز برای مکانیسم مثال ۶۰۷ رسم کنید. مکانیسم فوق، و نه مکانیسم چهار میله‌ای هم‌اوز آن، را تحلیل کنید. در تحلیل شتاب، مؤلفه کربولیس را برای نقاط P_4 و P_3 در نظر بگیرید.

همچنین از شعاع انحنای مسیر به دست آمده در قسمت الف این مسئله استفاده کنید. مقیاس سرعت را $1\text{mm} = 0.06\text{m/s}$ و مقیاس شتاب را $1\text{mm} = 0.01\text{m/s}^2$ در نظر بگیرید.
(ج) ω را برحسب رادیان در ثانیه و α را برحسب رادیان بر مجذور ثانیه به دست آورید.

نمودارهای سرعت و شتاب و مشتق گیری ترسیمی

۱-۸ مقدمه

در فصلهای ۵، ۶ و ۷ روشهای یافتن سرعت و شتاب مکانیسمی که در یک فاز مشخص قرار دارد مورد بحث و بررسی قرار گرفت. غالباً می خواهیم بدانیم که سرعت یا شتاب یک میله مفروض چگونه طی یک سیکل کاری تغییر می کند و حداکثر سرعت و شتاب در کجا رخ می دهد. می توان سرعتها و شتابها را برای چند فاز مختلف مکانیسم به دست آورد، و مقادیر مربوطه را روی منحنی ترسیم کرد. نتایج حاصل را نمودارهای سرعت و شتاب نامند.

۲-۸ نمودارهای سرعت و شتاب

در شکل ۱-۸، یک مکانیسم لغزنده - لنگ نشان داده شده است. سرعت خطی پیستون برای ۱۲ وضعیت هم فاصله لنگ به دست آمده است. برای هر کدام از وضعیتهای مفصل لنگ B ، مکان پیستون C با زدن کمانهایی به شعاع BC به مراکز مستقر روی دایره مسیر حرکت لنگ باقیه شده است. محل برخورد این کمانها با خط مسیر حرکت پیستون، موقعیتهای مکانی مختلف پیستون را تعیین می کند. با توجه به معلوم بودن تعداد دور لنگ در هر دقیقه، که ثابت فرض می شود، V_B برحسب فوت بر ثانیه محاسبه شده و با استفاده از مقیاسی مناسب عمود بر OB ترسیم شده است. آنگاه روش خط موازی، که در بخش ۳-۵ تشریح شده، برای یافتن سرعت پیستون مورد استفاده قرار گرفته است. این روش برای موقعیت ۱ لنگ تصویر شده است. $BB' = BD$ ، و CC' بیانگر اندازه سرعت پیستون است. برای وضعیتهای لنگ ۲ تا ۱۲، طولهای V_C به صورت مختصات عرضی مثبت عمود بر خط مسیر